

ИЗГИБ УПРУГО-ПЛАСТИЧЕСКОГО СТЕРЖНЯ

Ниже рассматривается изгиб прямолинейного стержня из упрочняющегося склерономного упруго-пластического материала под действием нагрузки, вызывающей в нем появление деформаций за пределом текучести. Предполагается, что материал стержня одинаково сопротивляется как растяжению, так и сжатию. Диаграмма растяжения (ДР) такого материала содержит два участка, – линейный до предела текучести σ_T и участок упрочнения до предела прочности σ_B . ДР конкретного материала на участке упрочнения может быть достаточно легко описана соответствующими выражениями. Несколько конкретных выражений использованы в [1]–[2], в том числе и при наличии площадки текучести заданной длины (для материала сталь 20). В данной работе ДР описывается выражениями (для $\sigma > 0$):

$$\begin{aligned} \sigma &= E\varepsilon & \varepsilon &\leq \varepsilon_T \\ \sigma &= \sigma_T + \sigma_U \left(1 - \frac{(\varepsilon_B - \varepsilon)^n}{(\varepsilon_B - \varepsilon_T)^n}\right) & \varepsilon_T &< \varepsilon \leq \varepsilon_B \end{aligned} \quad (1)$$

где E – модуль упругости материала, σ_T и σ_B – пределы текучести и прочности, $\sigma_U = \sigma_B - \sigma_T$ – уровень упрочнения, n – показатель упрочнения, $\varepsilon_T = \sigma_T/E$ – деформация, соответствующая пределу текучести, ε_B – деформация, соответствующая пределу прочности. Для числовых данных $E=2 \cdot 10^5$ МПа, $\sigma_T=200$ МПа, $\sigma_B=400$ МПа, $\varepsilon_B=0.5$ расчетные диаграммы показаны на рисунке 1. Видно, что показатель n предоставляет достаточную гибкость для описания кривой ДР разной формы – от билинейной до идеализируемой диаграммой Прандтля.

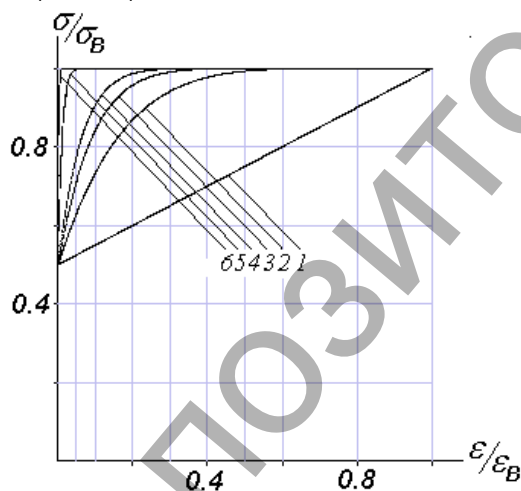


Рисунок 1 – Диаграммы деформирования при $n=1, 6, 11, 16, 100, 600$ (кривые 1-6)

Для иллюстрации использования (1) к расчету стержня на поперечный изгиб далее рассматриваются прямолинейные балки с прямоугольным сечением.

Предполагается, как обычно в технической теории, выполнение гипотезы плоских сечений. При этом деформации в зависимости от расположения слоя по высоте сечения составляют

$$\varepsilon = \frac{y}{\rho}, \quad (2)$$

где y – координата, отсчитываемая от нейтрального слоя, ρ – радиус кривизны изогнутой оси балки.

Изгибающий момент вдоль оси балки $M(x)$ вызывает в ее сечениях напряжения и деформации, которые с величиной момента связаны выражением

$$M = 2b \int_0^{y_{ext}} \sigma y dy = 2b\rho^2 \int_0^{\varepsilon_{ext}} \sigma \varepsilon d\varepsilon, \quad (3)$$

где $y_{ext} = h/2$ и $\varepsilon_{ext} = \varepsilon(y_{ext})$ – координата и деформация наружного слоя, b – ширина сечения. Зависимость величины момента M от деформации наружного слоя балки определяется как (индекс “ext” далее везде опущен):

$$\text{При } \varepsilon \leq \varepsilon_T \quad M = E \frac{bh^2}{6} \varepsilon. \quad (4)$$

$$\text{При } \varepsilon_T < \varepsilon \leq \varepsilon_B$$

$$M = \frac{bh^2}{4\varepsilon^2} \left[\frac{2}{3} \sigma_T \varepsilon_T^2 + \sigma_B (\varepsilon^2 - \varepsilon_T^2) + 2 \frac{\sigma_U}{(n+1)(n+2)(\varepsilon_B - \varepsilon)^n} \times \left[(\varepsilon_B - \varepsilon)^{n+1} (\varepsilon_B + (n+1)\varepsilon) - (\varepsilon_B - \varepsilon_T)^{n+1} (\varepsilon_B + (n+1)\varepsilon_T) \right] \right]$$

Для указанных выше числовых данных зависимость $M(\varepsilon)$ приведена на рис. 2. Значение предельного упругого момента при $\varepsilon = \varepsilon_T$ составляет $M_T = 33.33$ НМ (при $b=h=1$ см).

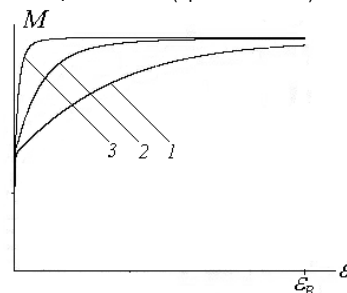


Рисунок 2 – Зависимости $M(\varepsilon)$ для $n=4, 16, 100$ (кривые 1-3)

С учетом (3) из (4) можно получить дифференциальное уравнение изогнутой оси, если будет известна зависимость $\varepsilon[M(x)]$, обратная по отношению к (4). Это можно сделать, используя для $\varepsilon(M)$ на участке упрочнения аппроксимацию сплайном. Далее конкретно использован кубический сплайн $\varepsilon[M(x)] = A+Bx+Cx^2+Dx^3$.

Учитывая связь $\varepsilon_{ext} = h/(2\rho)$, кривизна $\chi=1/\rho$ в любой точке продольной оси стержня выразится зависимостью

$$\chi = \varepsilon[M(x)] \cdot 2/h, \quad (5)$$

причем по своему определению [3] χ равно

$$\chi = \frac{d^2 V / dx^2}{(1 + (dV / dx)^2)^{3/2}}. \quad (6)$$

Аналитическое решение полученного уравнения (5) в общем случае невозможно и для его интегрирования следует использовать один из численных методов.

Например, если для χ взять обычно принимаемую в задачах изгиба балок усеченную зависимость $\chi \approx d^2 V / dx^2$, то для построения решения можно провести интегрирование по участкам сплайна либо

использовать конечно-разностную аппроксимацию второй производной при равномерном шаге разбиения вдоль оси "x" и свести задачу к решению системы линейных уравнений. Однако, учитывая возможность применения уравнения (5) к различным классам задач, целесообразно не отказываться от нелинейности выражения (6), и поэтому в данной работе в качестве метода интегрирования был использован метод Рунге-Кутты с автоматическим выбором шага.

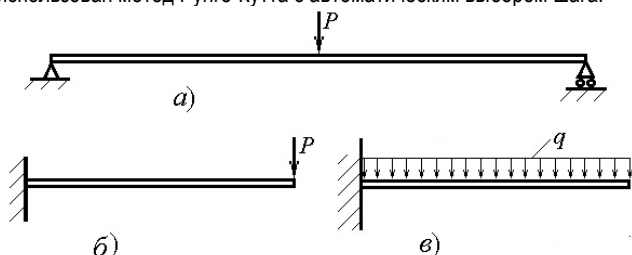


Рисунок 3 – Схемы нагружения балок

Прогибы шарнирно-опертой и консольных балок, показанных на рис. 3, для описанной выше постановки задачи приведены на рис. 4 при $n=4$. Сечение балок квадратное со стороной 1 см, длина шарнирной балки – 2 м, консольных балок – 1 м. Кривые, на которых деформации перешли за предел текучести, отмечены кружком. Нарастание максимальных деформаций и прогибов в зависимости от уровня нагрузки показано на рис. 5. На нем обозначено: $p=P/P_{max}$, $\xi_\epsilon=\epsilon/\epsilon_{max}$, $\xi_V=V/V_{max}$, где P – нагрузка, ϵ – деформация наружного слоя, V – стрела прогиба, $P_{max}=225$ Н, $\epsilon_{max}=2.635 \cdot 10^{-2}$, $V_{max}=11.518$ см – значения указанных величин при наибольшем воздействии (момент в среднем сечении балки $M=56.25$ НМ). Вертикальной чертой на рисунке отмечена точка выхода нагрузки за участок упругих деформаций балки.

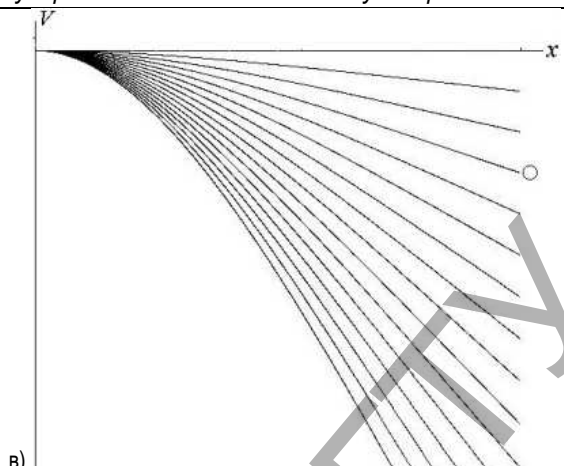
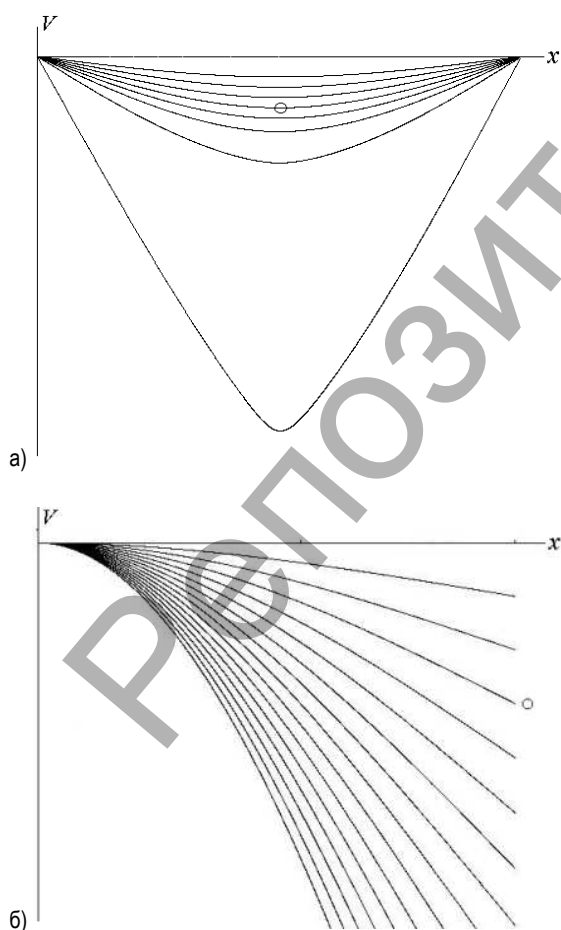


Рисунок 4 – Формы изогнутой оси балок в зависимости от уровня ступенчато-возрастающей нагрузки

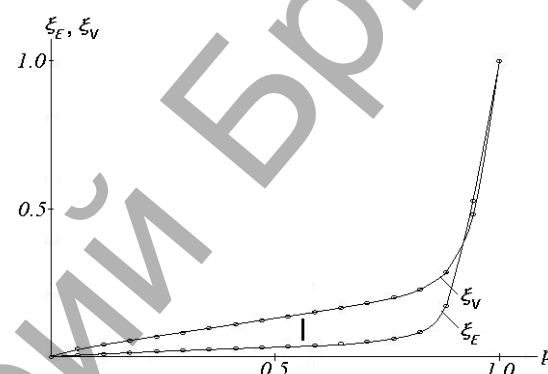


Рисунок 5 – Зависимость деформаций и прогибов от нагрузки для шарнирно-опертой балки

Из результатов видно, что перемещения балок быстро нарастают с ростом нагрузки выше величины, соответствующей достижению предела текучести в поверхностном слое балки, форма прогибов заметно отличается от упругой, а весь изгиб концентрируется в наиболее нагруженной зоне. При этом принципиальной особенностью рассматриваемого решения является наличие упругой зоны вблизи нейтральной оси, толщина которой составляет $\Delta=h \cdot \epsilon_T / \epsilon_{ext}$ и не стремится к нулю при $\epsilon \rightarrow \epsilon_B$, т. е. результатом решения являются конечные прогибы независимо от вида приложенных поперечных усилий, что, как известно [4], не всегда имеет место при идеализации ДР диаграммой Прандтля.

Как видно из рис. 1, с ростом показателя упрочнения "n" ДР приближается к диаграмме Прандтля, и поэтому расчет перемещений балки с большими значениями показателя упрочнения должен приближаться к решению для идеально-пластического материала, которое показывает, что прогиб балки при образовании пластического шарнира в среднем сечении превосходит предельный упругий в $V/V_T=2.22$ раза при нагрузке, превышающей предельную упругую в 1.5 раза [4]. Использованная методика решения при $n=1000$ и усеченном выражении для кривизны вместо 2.22 дает значение 2.213, что подтверждает правильность проведенных вычислений (при сравнении принимаем $\sigma_T = \sigma_B = 400$ МПа). Точное выражение для кривизны приводит к отношению прогибов 2.35. Если же считать σ_T зафиксированным на исходном уровне $\sigma_T = 200$ МПа, то зависимость максимального прогиба при различных уровнях нагружения от n можно отразить следующими результатами:

$$n=1 \quad n=4 \quad n=16 \quad n=100 \quad n=600$$

$$\frac{P}{P_T} = 1.125; \quad \frac{V}{V_T} = 1.13; \quad \frac{V}{V_T} = 1.13; \quad \frac{V}{V_T} = 1.13; \quad \frac{V}{V_T} = 1.13; \quad \frac{V}{V_T} = 1.13$$

$P/P_T=1.313$; $V/V_T=1.37$; $V/V_T=1.37$; $V/V_T=1.37$;
 $V/V_T=1.35$; $V/V_T=1.26$

$P/P_T=1.50$; $V/V_T=2.04$; $V/V_T=1.94$; $V/V_T=1.82$;
 $V/V_T=1.65$; $V/V_T=1.51$

$P/P_T=1.594$; $V/V_T=7.04$; $V/V_T=3.29$; $V/V_T=2.33$;
 $V/V_T=1.87$; $V/V_T=1.60$

$P/P_T=1.69$; $V/V_T=6.84$; $V/V_T=3.20$; $V/V_T=2.09$;
 $V/V_T=1.71$,

показывающими влияние характера упрочнения материала на деформирование конструкции.

Для двух других схем нагружения из расчетов следуют результаты, аналогичные приведенным.

Расчеты показывают, что с ростом уровня нагружения при использовании в (6) приближенного выражения для кривизны ($\chi \approx d^2 V/dx^2$) погрешность решения нарастает. На-пример, при $n=4$ для шарнирно-опертой балки погрешность в определении прогибов составляет примерно 1.6% для $P/P_T=2.1$, 7.9% для $P/P_T=2.8$, 20.5% для $P/P_T=3.0$ (точная формула дает более высокие значения).

Но хотя формула (6) для кривизны формально позволяет учесть наличие больших перемещений и была использована выше, сама процедура решения не вполне приемлема для их определения, так как необходимым условием получения корректного результата является

проведение расчетов балки по деформированной схеме с вытекающими отсюда требованиями к постановке задачи, что не предусматривалось настоящей работой. Фактически же, так как нас чаще всего интересует ситуация с реализацией не слишком больших деформаций, то для таких случаев построенная методика решения позволяет дать удовлетворительную оценку ожидаемых перемещений при работе материала стержня за пределом упругости. Не представляет сложности применить методику к балкам из материалов, имеющих различный уровень сопротивления на растяжение и сжатие.

СПИСОК ЦИТИРОВАННЫХ ИСТОЧНИКОВ

1. Холодарь, Б.Г. Определение напряженно-деформированного состояния фермы с использованием диаграммы Максвелла-Кремоны // Вестник брестского государственного технического университета. – № 1(97): Строительство и архитектура. – 2016. – С. 39–42.
2. Холодарь, Б.Г. Напряженно-деформированное состояние фермы из реономного упруго-пластического материала // Вестник брестского государственного технического университета. – № 1 (97): Строительство и архитектура. – 2016. – С. 42–46.
3. Корн, Г. Справочник по математике для научных работников и инженеров / Г. Корн, Т. Корн. – Москва: Из-во «Наука», 1970. – 720 с.
4. Малинин, Н.Н. Прикладная теория пластичности и ползучести. – Москва: Из-во «Машиностроение», 1968. – 400 с.

Материал поступил в редакцию 04.04.2017

KHOLODAR B.G. Bending of an elastic rod beyond the elastic limit

The transverse bending of a rod made of either a nonlinearly elastic or elasto-plastic material is being considered in the state of direct loading. The material hardening function is described by a polynomial. The curvature of the rod is expressed through the deformation of the outer layer, whose dependence on the bending moment is found using a spline approximation. The solution can be easily adopted to the materials with different tensile-compression resistance.

УДК 691.51

Тур Э.А., Казаков В.Н., Басов С.В.

РЕСТАВРАЦИЯ КОССОВСКОГО ДВОРЦА ПУСЛОВСКИХ И РЕШЕНИЕ ВОЗНИКШИХ ПРИ ЭТОМ ТЕХНИЧЕСКИХ ПРОБЛЕМ

Введение. В двух километрах севернее г. Коссово Ивацевичского района Брестской области располагается дворец Пусловских. Дворец был заложен в 1838 году на западной окраине поселения как загородный усадебный ансамбль с большим парком.

Для белорусской архитектуры Коссовский дворец уникален. Он не похож ни на один другой дворцово-парковый комплекс, возводившийся в начале XIX века: в тот период времени на пике популярности был классицизм, а дворец построили в неоготическом стиле – стиле старинных готических замков. Над его проектом работал архитектор Франтишек Яшчольд из Варшавы, а для оформления интерьеров был приглашен итальянский художник Маркони. Единственное в резиденции Пусловских от классицизма – это правильная геометрическая форма и симметричная композиция. Ядро – центральный двухэтажный корпус, с ним узкими галереями с высокими стрельчатыми арками соединяются два боковых. Все остальные детали относятся к неоготике. Подражание художественным стилям прошлых веков отчетливо прослеживается на фасадах. Зубчатые завершения многогранных башенок, оконные и дверные проемы стрельчатого очертания, щелеобразные, наподобие бойниц, прорезы в стенах, карнизы, похожие на крепостные машикули, витражи и другие детали явились искусственным возвращением к архитектур-

ным формам средневековья [1]. Благодаря им дворец очень напоминает средневековые оборонительные замки (рисунок 1).



Рисунок 1 – Дворец Пусловских (Коссовский замок)

Тур Элина Аркадьевна, к.т.н., доцент, заведующая кафедрой инженерной экологии и химии Брестского государственного технического университета.

Басов Сергей Владимирович, к.т.н., доцент, доцент кафедры инженерной экологии и химии Брестского государственного технического университета.

Беларусь, БрГТУ, 224017, г. Брест, ул. Московская, 267.

Казаков Владимир Нахимович, директор ООО «Реставрация-Инвест», архитектор.